

NIEKTORE POKRYTIA GULOVEJ PLOCHY ZHODNÝMI KRUHMI

ERNEST JUCOVÍČ, Prešov

1. Nech N zhodných kruhov celkom pokryva jednotkovú gulovú plochu (N je prirodzené číslo). Nazvime hustotou pokrytia gulovej plochy týmto N kruhmi (označíme d_N) podiel zo súčtu sférických obsahov týchto N kruhov ku povrchu gulovej plochy. I. Fejes-Tóth [1] predkladá problém: K danému číslu N určiť sférický polomer r_N , a to rozmiestnenie stredov uvažovaných N kruhov s polomerom r_N na gulovej ploche, aby príslušná hustota pokrytia d_N bola minimálna.

Pre $N = 1, 2, 3, 4, 6, 12$ je riešenie problému jednoduché. (Pozri K. Schütte [2].) Pre $N = 5, 7$ našiel riešenie Schütte [2] pomocou grafov, ktoré — na rozdiel od Fejes-Tóthom konštruovaného grafu — obsahujú aj hrany menšie ako r_N . V tej istej práci primáša Schütte aj odhad hornej hranice minimálnej hodnoty d_N . Pre $N > 8$ — s výnimkou $N = 12$ — nielen že doteraz nie je podané riešenie, ale v literatúre nie sú spomínané ani „dost dobré“ umiestnenia stredov pokryvajúcich kruhov, ktoré by poskytovali odhady hornej hranice minimálnych hustôt pokrytia gulovej plochy príslušným počtom kruhov.

V ďalších riadkoch ukážeme také „dobré“ pokrytie gulovej plochy 9, 10, 14 a 20 kruhmi. Numerické výpočty sa výkonajú prostriedkami elementárnej sférickej geometrie a neuvádzame ich. Na obrázkoch sú znázornené stredové priemety príslušných grafov, zostrojených podľa spomínamej práce Schütteho. (Teda čierne body sú stredy pokryvajúcich kruhov, biele body sú stredy kružíc opísaných trojuholníkom z trojuholníkovej siete, natiahnutej na stredoch pokryvajúcich kruhov; hrany grafu dostaneme, keď vrcholy trojuholníkov zo sieti spojíme s príslušnými stredmi opísaných kružíc.) Predom ešte pripomeňme (častejšie to použijeme), že a) sférický polomer pokryvajúcich kruhov r_N a k nemu patriaca hustota pokrytia d_N sú vo vzťahu

$$d_N = \frac{N}{2} (1 - \cos r_N), \quad (1)$$

b) dolná hranica hustoty pokrytia je podľa [2] daná nerovnosťou

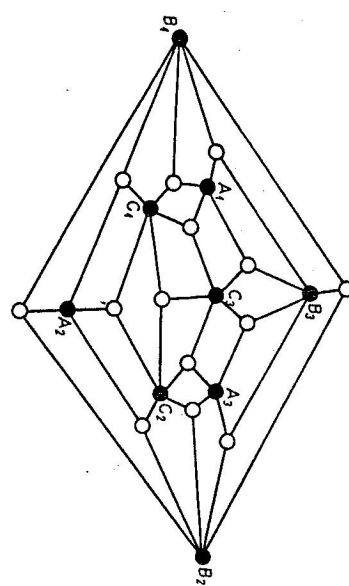
$$d_N \geq \frac{N}{2} \left(1 - \frac{1}{\sqrt{3}} \cotg \frac{N-2}{6} \cdot \pi \right). \quad (2)$$

2. $N = 9$. Nech A_1, A_2, A_3 sú vrcholy rovnostranného trojuholníka, vŕšaného do hľavnej kružnice h . Nech ležia body B_1, B_2, B_3 na tej istej polguli oddeľenej kruhom h a nech sú vrcholmi zhodných rovnoramenných trojuholníkov nad základňami $\widehat{A_1A_2}, \widehat{A_2A_3}, \widehat{A_3A_1}$, ktorých ramená majú $68^\circ 58'$. Obdobne zostrojme body C_1, C_2, C_3, C_4 na opačnej polguli. Zhodné kruhy sú stredmi v bodech A_i, B_i, C_i ($i = 1, 2, 3$) a s polomerom

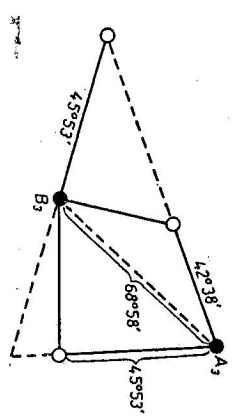
$$r_9 \doteq 45^\circ 53'$$

pokryvajú guľovú plochu, pričom hustota pokrycia je

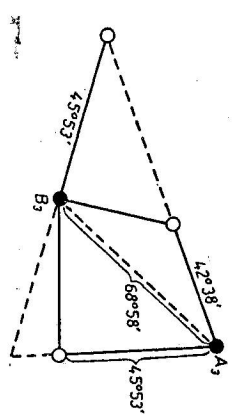
$$d_9 \doteq 1,367.$$



Obr. 3.



Obr. 1.



Obr. 2.

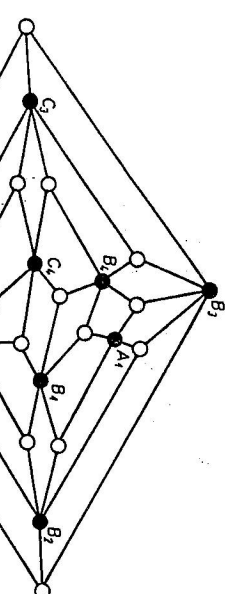
polomer zhodných kruhov, ktoré majú stredy v bodech A_1, A_2, B_i, C_i a pokryvajú guľovú plochu, je

$$r_{10} \doteq 42^\circ 19'.$$

Príslušná hustota pokrycia je

$$d_{10} \doteq 1,302.$$

Svet sférických trojuholníkov s vrcholmi v bodech A_1, A_2, B_i, C_i sú volili tak, že všetky sú zhodné s trojuholníkom $A_1B_1B_2$, — preto aj všetky hrany



Obr. 4.

grafu (obr. 3) sú zhodné s polomerom pokryvajúcich kruhov. Hustota uvedeného pokrycia je o 5 % väčšia ako dolná hranica podľa vzťahu (2).

4. $N = 14$. Nech sú A_1, A_2, A_3, A_4 vrcholy štvorca, vŕšaného do hľavnej kružnice h , ktorej pólni sú body B_1, B_2 . Na polguli hB_1 (t. j. na tej polguli ohaničenej kružnicou h , na ktorej leží bod B_1) nech sú body C_1, C_2, C_3, C_4 , hľavné vrcholy zhodných rovnoramenných trojuholníkov so základňami $\widehat{A_1A_2}, \widehat{A_2A_3}, \widehat{A_3A_4}, \widehat{A_4A_1}$, nech ramená týchto trojuholníkov sú zhodné so vzdialos-

Graf (obr. 1) obsahuje 12 zhodných častí, z nich jedna je znázornená na obr. 2. Jeho hrany sú dvojake, $45^\circ 53'$ a $42^\circ 38'$. Hustota pokrycia pri našom umiestnení je o 10 % väčšia ako dolná hranica podľa vzťahu (2).

3. $N = 10$. Nech je A_1, A_2 priemer gule. Nech sú $B_1, B_2, B_3, B_4, C_1, C_2, C_3, C_4$ dva zhodné štvorce, vpisane do takých rôznych kružník guľovej plochy, ktoré obe majú body A_1, A_2 za póly. Body C_1, C_2, C_3, C_4 nech sú \widehat{h} umiestnené tak, aby $\widehat{B_1C_1} = \widehat{B_2C_1} = \widehat{B_3C_2} = \widehat{B_4C_2} = \widehat{B_1C_3} = \widehat{B_2C_3} = \widehat{B_1C_4} = \widehat{B_2C_4}$; nech tiež obdúky sú zhodné so sférickým polomerom kružníc, na ktorých body B_i , resp. C_i ($i = 1, 2, 3, 4$) ležia. (Tie obdúky majú asi $65^\circ 32'$.) Potom minimálny

D_1, D_2, \dots, D_6 na opačnej polguli. Kruhy, ktorých stredy sú body B_1, B_2, A_1, C_1, D_1 ($i = 1, \dots, 6$) a majú polomer

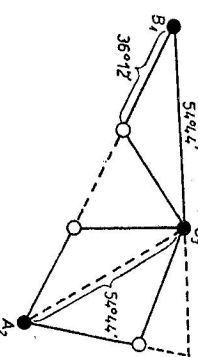
$$r_{20} \doteq 30^\circ 27',$$

pokryvajú gulovú plochu. Príslušná hustota pokrycia je

$$r_{14} \doteq 36^\circ 12',$$

pokryvajú gulovú plochu. Príslušná hustota pokrycia je

$$d_{14} \doteq 1,352.$$

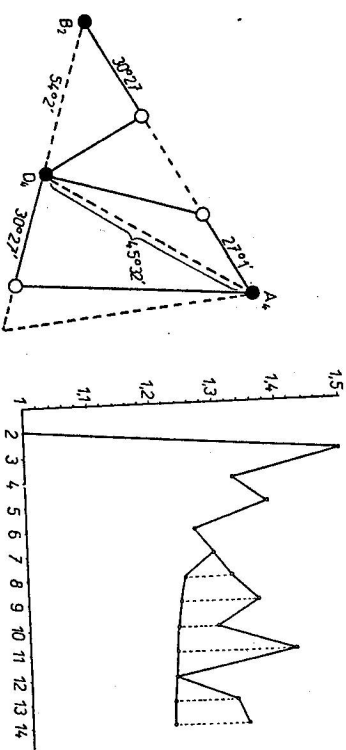


Obr. 5.

Táto hustota je o 10 % väčšia ako dolná hranica d_{14} , dana vztahom (2).

Všetky hrany grafu (obr. 4) sú zhodné s polomerom pokryvajúcich kruhov. Celý graf obsahuje 16 zhodných častí, z nich jedna je znázornená na obr. 5.

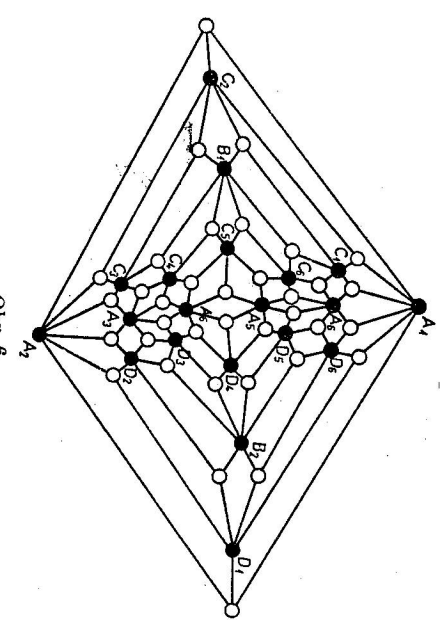
5. $N = 20$. Nech sú $A_1, A_2, A_3, A_4, A_5, A_6$ vrcholy pravidelného šesťuholníka, vpísaného do hlavnej kružnice h , ktorej polmi sú body B_1, B_2 .



Obr. 7.

Táto hustota je o 13 % väčšia ako dolná hranica pre d_{20} , dana vztahom (2). Hrany grafu (obr. 6) sú dvojaké, $30^\circ 27'$ a $27^\circ 1'$. Celý graf sa skladá z 24 zhodných častí, z nich jedna je znázornená na obr. 7.

6. Záverom na obr. 8 je ukázaná závislosť d_N od N . Hornou čiarou sú spojené známe minimálne hodnoty d_N alebo dolné hranice zo vzťahu (2); dolhou čiarou sú spojené odhady minimálnych hodnôt d_N , uvedené v predchádzajúcich riadkoch a u Schüttého. Odhadovú hodnotu d_N pre $N = 11, 13$ sme vzali tak, že sme jednoducho ku známym konfiguráciám desiatich a dvanásťich kruhov pridali ďalší jeden kruh.



Obr. 6.

Na polguli hB_1 nech sú body C_1, C_2, \dots, C_6 hlavné vrcholy zhodných rovnomenných trojuholníkov so základňami $\widehat{A_1A_2}, \widehat{A_2A_3}, \widehat{A_3A_4}, \widehat{A_4A_5}, \widehat{A_5A_6}, \widehat{A_6A_1}$, ktorých ramená merajú $45^\circ 32'$. Obdobným postupom zostrojme body

Obr. 8.

LITERATÚRA

- [1] Fejes-Toth L., *Lagerungen in der Ebene auf der Kugel und im Raum*. Berlin – Göttingen – Heidelberg 1953.
- [2] Schütté K., Überdeckungen der Kugel mit höchstens acht Kreisen. Math. Annalen 129 (1955), 181 – 186.

Došlo 7. 9. 1959.

Katedra matematiky a fyziky
Pedagogického inštitútu v Prešove

НЕКОТОРЫЕ ПОКРЫТИЯ СФЕРИЧЕСКОЙ
ПОВЕРХНОСТИ РАВНЫМИ КРУГАМИ

ЭРНЕСТ ЮДОВИЧ

Выводы

В статье показаны расположения центров 9, 10, 14 и 20 кругов, которые позволяют сверху оценить минимальную плотность покрытия сферической поверхности этим количеством кругов.

На рисунках — центральные проекции графов, построенных по Шютте (2).

Расположения центров, величины радиусов r_N покрывающих кругов и плотности покрытия d_N :

Центры 9 кругов расположены на 3 параллельных окружностях по 3 точкам; $r_9 \doteq 45^{\circ}53'$, $d_9 \doteq 1,367$.

Центры 10 кругов — вершины 2 равных квадратов, описанные окружности которых лежат в параллельных плоскостях, — и полюсы этих окружностей; $r_{10} \doteq 42^{\circ}19'$, $d_{10} \doteq 1,302$.

Центры 14 кругов — вершины 3 квадратов, описанные окружности которых лежат в параллельных плоскостях, — и полюсы этих окружностей; $r_{14} \doteq 36^{\circ}12'$, $d_{14} \doteq 1,352$.

Центры 20 кругов — вершины 3 правильных 6-угольников, описанные окружности которых лежат в параллельных плоскостях, — и полюсы этих окружностей; $r_{20} \doteq 30^{\circ}27'$, $d_{20} \doteq 1,379$.

EINIGE ÜBERDECKUNGEN DER KUGELFLÄCHE
MIT KONGRUENTEN KREISEN

ERNEST JUCOVIC

Zusammenfassung

Gezeigt werden Lagerungen der Mittelpunkte von 9, 10, 14 und 20 kongruenten Kreisen, die Abschätzungen der oberen Schranken der minimalen Überdeckungsdichten bieten. Auf den Abbildungen sind die Zentralprojektionen der nach Schüttie [2] konstruierten Graphen.

Die Lagerungen der Mittelpunkte der überdeckenden Kreisen, ihre Radien r_N und die dazugehörigen Dichten d_N sind:

Die Mittelpunkte der 9 Kreisen liegen zonal per 3 Punkte auf einem Großkreise und zwei Breitenkreisen, deren Ebenen parallel sind; $r_9 \doteq 45^{\circ}53'$, $d_9 \doteq 1,367$.

Die Mittelpunkte der 10 Kreisen sind Ecken zweier kongruenter Quadrate, deren Umkreise in parallelen Ebenen liegen, — und weiter die 2 Pole der Umkreise; $r_{10} \doteq 42^{\circ}19'$, $d_{10} \doteq 1,302$.

Die Mittelpunkte der 14 Kreisen sind Ecken dreier Quadrate mit parallelen Umkreisebenen und die 2 Pole dieser Umkreise; $r_{14} \doteq 36^{\circ}12'$, $d_{14} \doteq 1,352$.

Die Mittelpunkte der 20 Kreisen sind Ecken dreier regulären Sechsecke mit parallelen Umkreisebenen und die 2 Pole der Umkreise; $r_{20} \doteq 30^{\circ}27'$, $d_{20} \doteq 1,379$.